

## 信頼性を考えた橋梁の載荷実験

金沢大学工学部 正会員 小堀義雄  
石川高尙 正会員 ○山村裕典

### 1. まえがき

橋梁が架設された後、どの程度の安全度を有するか知る必要がある。また、近年自動車が大型化され、ときとして大きな荷重が橋梁に載荷されることが考えられるため、既設の橋梁においてもどの程度の荷重に耐え得るか知りおく必要がある。そのために種々の載荷試験が行なわれている。機械製品のように、比較的安価で同一の製品が多く生産される場合には、幾つかの製品を破壊試験するなどによりその製品の強度を推定することができる。しかし、橋梁ではこのような方法を用いることはできない。従来行なわれている載荷試験では、設計荷重や実働荷重に近い実験荷重を載荷し生じた応力と許容応力あるいは降伏応力を比較することにより、その安全性が検討されてきた。

しかしこのような載荷試験では、実際に近い荷重を得ることは困難でありまた実験もかなり大掛かりとなり、所詮その橋梁の破壊荷重を測定することはできない。そこで本研究では、橋梁の安全性を信頼性理論の立場から考え、比較的簡単な載荷実験により橋梁の破壊強度を統計確率論的に推定し、橋梁の持つべき信頼度を得る方法について研究することとした。ここでいう、橋梁のなかにも特にトラス橋について述べることとする。

### 2. 載荷実験より破壊荷重の推定

Fig. 1 に示すようなトラス橋について説明する。いま載荷実験において、支点 A より任意の距離 x はなれた地点に、 $P_x$  なる大きさの荷重を載荷し、その荷重量を次第に増加する。そうすれば、ある任意の部材 i の活荷重応力  $\sigma_{l,i}$  と載荷荷重  $P_x$  との間に Fig. 2 に示すような関係が得られると考えられる。その結果より次式で示されるような  $P_x$  と  $\sigma_{l,i}$  の関係を表わす  $C_{l,x}$  が測定される。

$$C_{l,x} = \frac{\sigma_{l,i}}{P_x} \quad (1)$$

また、トラス橋には活荷重が載荷される前に死荷重が加わっており、死荷重応力  $\sigma_{d,i}$  が発生している。以上のことを、式(1)の関係より、部材 i の全応力  $\sigma_i$  は次式のように表わすことができる。

$$\sigma_i = C_{l,x} \cdot P_x + \sigma_{d,i} \quad (2)$$

式(2)から分かるように、荷重  $P_x$  が大きくなれば  $\sigma_i$  も大きくなり、部材において次まで示されるような条件が成り立つとき、その部材は破壊する。そして、トラス橋のような静定構造物では 1 つの部材の破壊は構造全体の破壊になる。

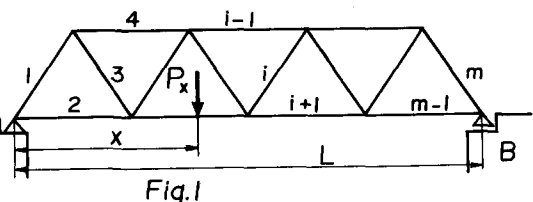


Fig. 1

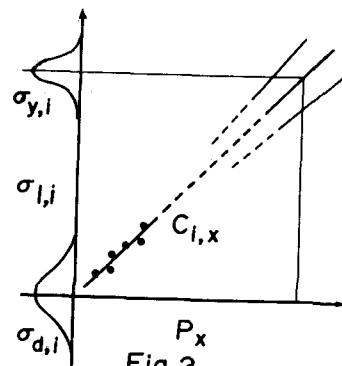


Fig. 2

$$\sigma_i > \sigma_{y,i} \quad (3)$$

ここに、 $\sigma_{y,i}$ は、部材*i*が破壊する応力である。しかし、部材*i*の破壊応力の $y_{i,n}$ の実際の値を知ることはできなく、一般にある分布法則に従う確率変数と考えればよく、その分布曲線を $F_{\sigma_{y,i}}$ とす。いま、荷重 $P_x$ による部材*i*の破壊確率を $Pf_{px,i}$ とすれば次式が成り立つ。

$$Pf_{px,i} = F_{\sigma_{y,i}}(\sigma_i) \quad (4)$$

ゆえに、トラス橋全体の荷重 $P_x$ による破壊確率 $Pf_{px,s}$ は次のように表わされる。

$$Pf_{px,s} = 1 - \prod_{i=1}^m (1 - Pf_{px,i}) \quad (5)$$

ここに、 $m$ はトラスの部材数。 $1 - Pf_{px,i}$ は1部材当りの生存確率になるので、それを全部材についてかけ合せればトラス全体の生存確率になり、その余事象が破壊確率になる。

なお、式(2)における $C_{l,n}, x$ は、実験では $\sigma_{y,n}$ に比べてかなり小さい範囲でしか測定することができないために、破壊が問題になる $\sigma_{y,n}$ 付近にまで拡張するにはかなりの誤差が生じると思われる。また、死荷重応力の $d_{l,n}$ は既設の橋梁では測定することができなく、計算に頼らざるを得ない。のために実際の値に比べてかなりの誤差が考えられる。式(2)を用いて $\sigma_{y,n}$ を計算するにはこれらの誤差も考慮してやらないければならない。

### 3. トラス橋の移動荷重による破壊確率

実際に橋梁に作用する荷重は移動荷重であり、また載荷実験に使用する実験荷重も移動である。そこでトラス橋の移動荷重による破壊確率の1つの計算法について述べる。

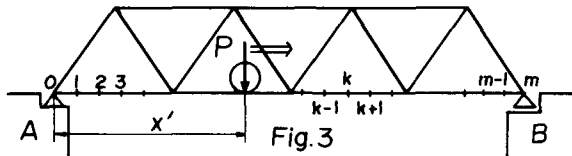


Fig. 3

Fig. 3 参照、荷重 $P$ が支点AよりBへ移動していくとする。スパンを $m$ 等分し、次の4つの確率を考える。

$F_K$ (良)；荷重 $P$ が良点においてまたは良点に達するまでに破壊する確率。

$L_K$ (良)；荷重 $P$ が良点においてまたは良点に達するまでに破壊しない確率。

$f_K$ (良)；荷重 $P$ が( $K-1$ )点に達するまで破壊しなく、( $K-1$ )点より良点の間に破壊する確率。

$p_K$ (良)；荷重 $P$ が( $K-1$ )点より良点の間を移動する際に破壊する確率。

次に、 $\Delta Pf_i$ をFig. 4に示すように、荷重 $P$ が( $K-1$ )点より良点の間を移動するときに部材*i*に生じて $i$ の応力が $\sigma_i(K-1)$ より $\sigma_i(K)$ に変化したために部材*i*が破壊する確率であるとすれば、式(5)の関係を用いることにより次式が成り立つ。

$$p_K = 1 - \prod_{i=1}^m (1 - \Delta Pf_i) \quad (6)$$

ただし、 $\sigma_i(K)$ が $\sigma_i(K-1)$ より小さき場合は、 $\sigma_i$

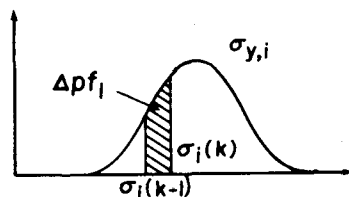


Fig. 4

(表-1)以下の応力による破壊はさうに考慮されてしまつて、 $\Delta P_{f,i}$ は0である。以上のことをより次式がそれを成り立つ。

$$f_K(\bar{f}_k) = \bar{f}_K(\bar{f}_k) \times \prod_{j=1}^{\bar{k}-1} \left\{ 1 - \bar{f}_K(f_j) \right\} \quad (7)$$

$$F_K(\bar{f}_k) = \sum_{j=1}^{\bar{k}} f_K(f_j) \quad (8)$$

$$L_K(\bar{f}_k) = 1 - F_K(\bar{f}_k) \quad (9)$$

ゆえに、移動荷重Pがトラス橋を通過する間に破壊する確率を $P_{fm,s}$ とすると、次式で表わされる。

$$P_{fm,s} = F_K(n) \quad (10)$$

#### 4. 数値計算例

例として、Fig.5に示すようないトラス橋に単一の移動荷重が通過する場合について数値計算を行なつたので、その結果について説明する。ト

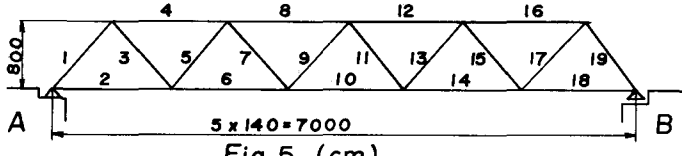


Fig. 5 (cm)

トラスの部材断面積は簡単のために、すべて $100 \text{ cm}^2$ 。破壊応力は、すべてこの部材に対して平均値 $2400 \text{ kg/cm}^2$ 、標準偏差 $240 \text{ kg/cm}^2$ なる正規分布を考えた。死荷重は上弦材格点に $1.8 \text{ t}$ 、下弦材格点に $2.4 \text{ t}$ を載荷した。余あ、ここでの数値計算結果では、死荷重応力 $\sigma_d$ 、 $\mu$ 、係数 $C_1, C_2, X$ のバラツキについては考慮していない。それからトラスパンの分割数は70を採用した。

Fig.6は、移動荷重量Pを確率変数とした場合の破壊確率すなむち $F_K(n)$ の分布である。

Fig.7は通常破壊における最も重要なスコット部分を拡大したものである。この結果は、 $P$ が40t付近から破壊確率が生じてきて、110t付近を過ぎると1.0に一致する。

Fig.8は移動荷重の位置 $x'$ による $f_K, F_K$ の値の変化を示したものである。Fig.8-Aは $P=40 \text{ t}$ の破壊確率の小さな場合の結果で、Fig.8-Bは $P=110 \text{ t}$ の破壊確率の大きな場合の結果である。ただし、 $P$ の値が90t以上になると $f_K, F_K$ の形はAの場合と同様である。それらの結果をまとめると、 $F_K$ の値は荷重が大きくなると $x'$ の小さな範囲で1.0に一定になる。

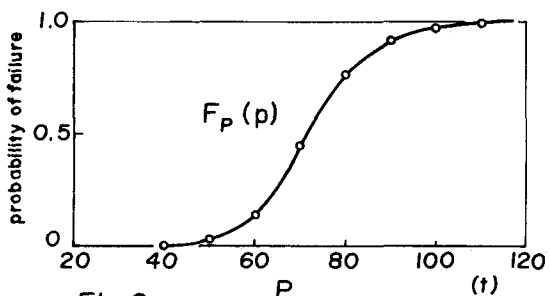


Fig.6

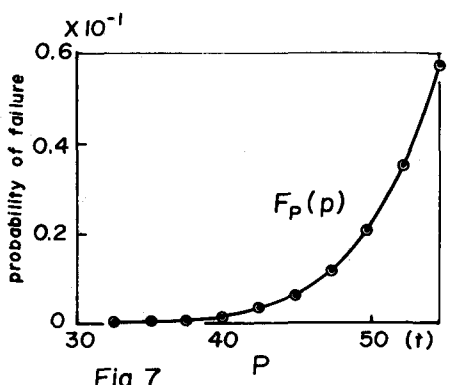


Fig.7

Fig. 8-A の  $h_K(x')$  の形がノコギリ波状になると、(11)式。これは、最も大きな破壊確率がある部材の破壊確率が、トラス橋全体の破壊確率とあわざ影響が大きく、他の部材に生じる応力はそれほど構造全体の破壊確率に影響がないためである。(しかし、荷重が大きくなると Fig. 8-B のようになり、多くの部材の影響が重なり合ってものになる。)

また、 $h_K$ ,  $F_K$  の形状がスペントに対する対称性をもつてゐるのは、前述のように一忯人生成じた応力以下の応力がより後生じても破壊確率に影響がないことを示すのである。

### 5. おさび

以上トラス橋の載荷実験による移動荷重に対する破壊確率の一つの計算法について述べてきた。

いま、Fig. 6 に示されるような移動荷重  $P$  による破壊確率の分布が計算され、その分布曲線を  $F_p(p)$  とする。そして、その橋に載荷されると思われる荷重  $L$  の確率密度曲線を  $f_L(p)$  とすれば、モトラス橋の破壊確率  $p_f$  は次式で表わされる。

$$p_f = \int_0^\infty F_p(p) \cdot f_L(p) dp \quad (11)$$

ただし、この場合には載荷される荷重にも单一移動荷重よりも考慮したものがなければならない。荷重を繰り返し荷重とし、時間的要素も考慮に入れる場合は取り扱いは異なってくる。

次に載荷実験における荷重の大きさの問題であるが、大きい実験荷重を採用すれば破壊確率が大きくなるために危険度が増す。(しかし、一人通過するならばそれ以下の荷重に対する破壊確率を考えるために、すなはち式(11)における初期値が 0 でなく、その実験荷重量を初期値と考えておきまことに、その橋梁の信頼度を増す。)

なお、 $\alpha$  は係数、 $\chi$  は死荷重応力  $\sigma_d$  、 $\epsilon_k$  は単位入力  $\epsilon$  を与えたときの応力であるが、これらはトラス橋の特徴的な要素も考慮に入れるければならないと考えられ、今後検討を行おう。

### 参考文献

- 1) 西村 昭，“構造物の安全性と信頼性に関する理論”，土木構造物の振動と安全性，昭和41年
- 2) Freudenthal, A. M., Gannett, J. H. and Shinozuka, M., "The Analysis of Structural Safety", J. Structural Division, Proc. ASCE, Vol. 92, No. ST1, February 1966, pp. 267-325.

